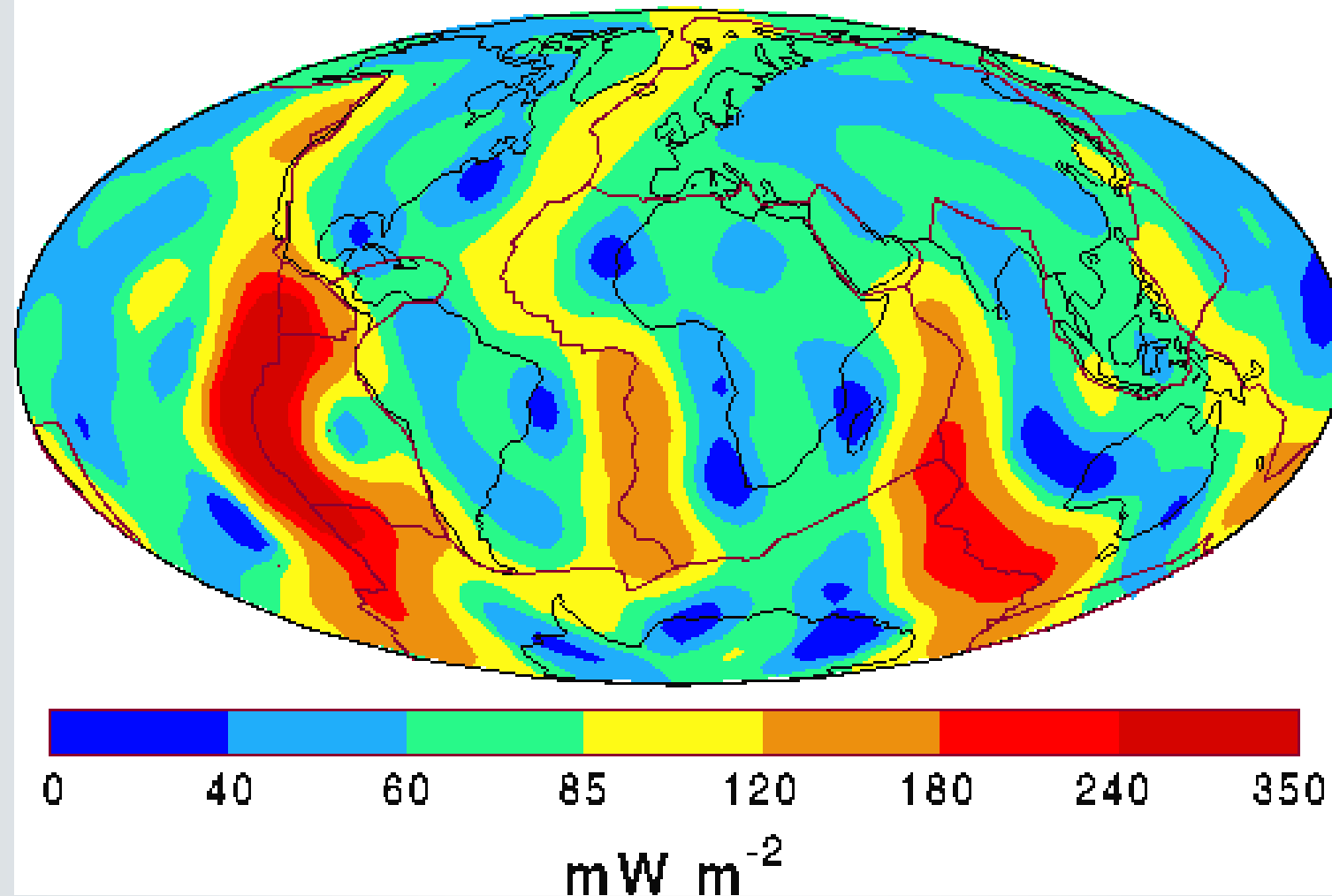
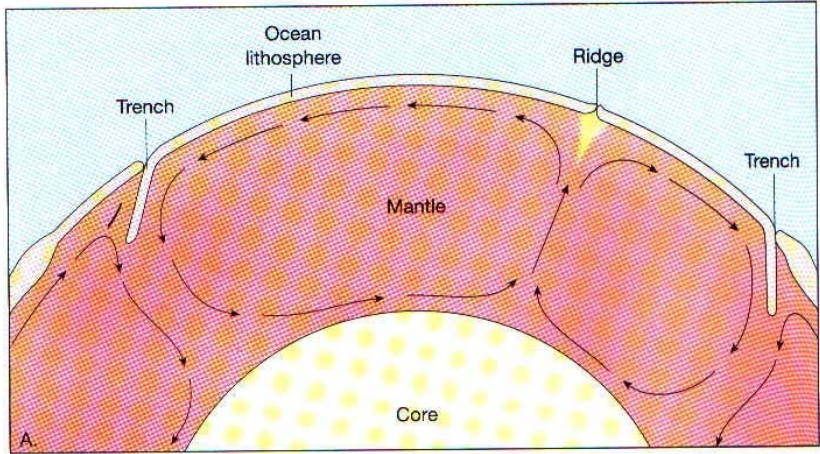


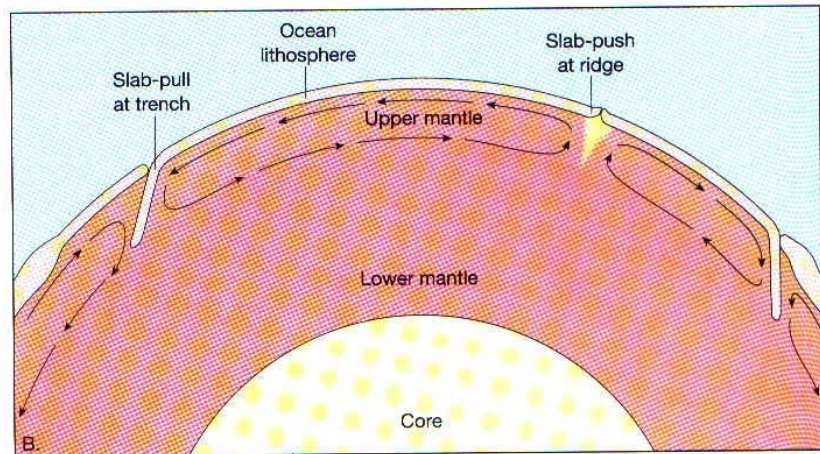
# Geotermie a dynamika sedimentárních pánví

Tepelný tok

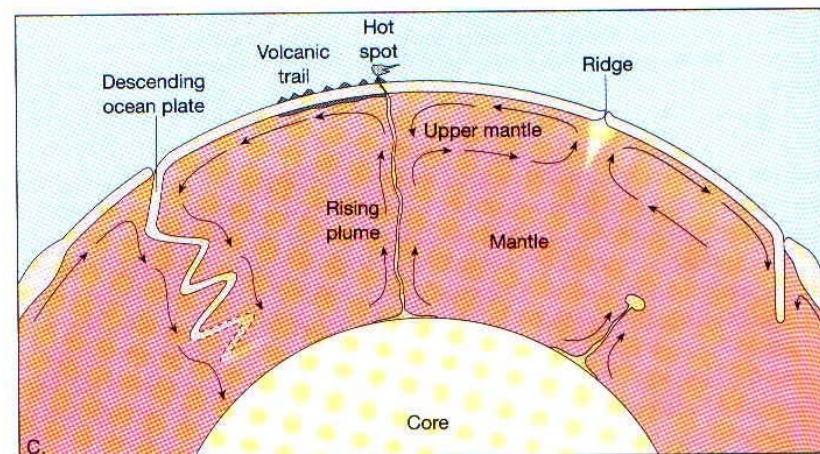




# Mantle Heat Transfer

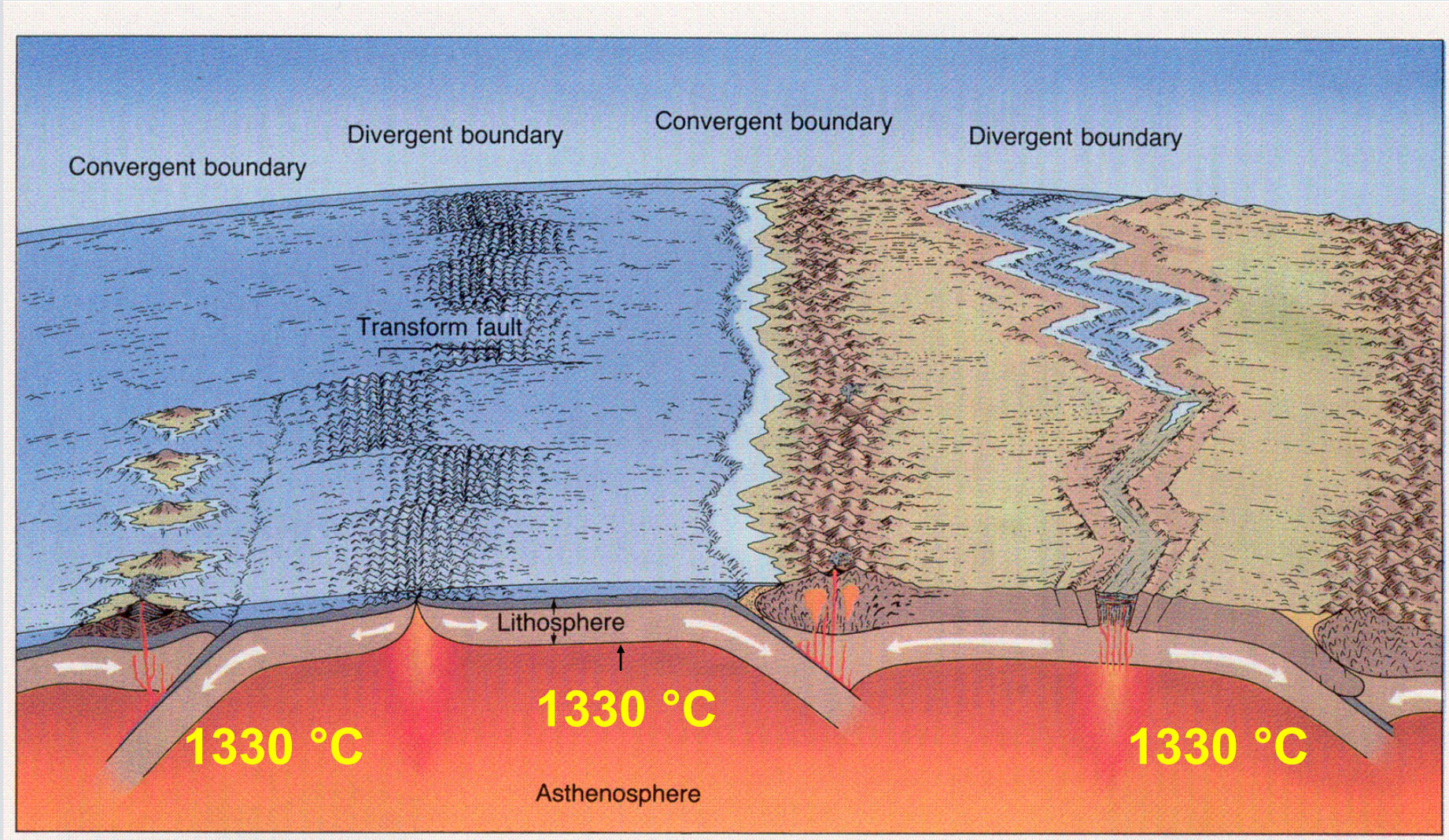


**Convective Heat Transfer in the Mantle**

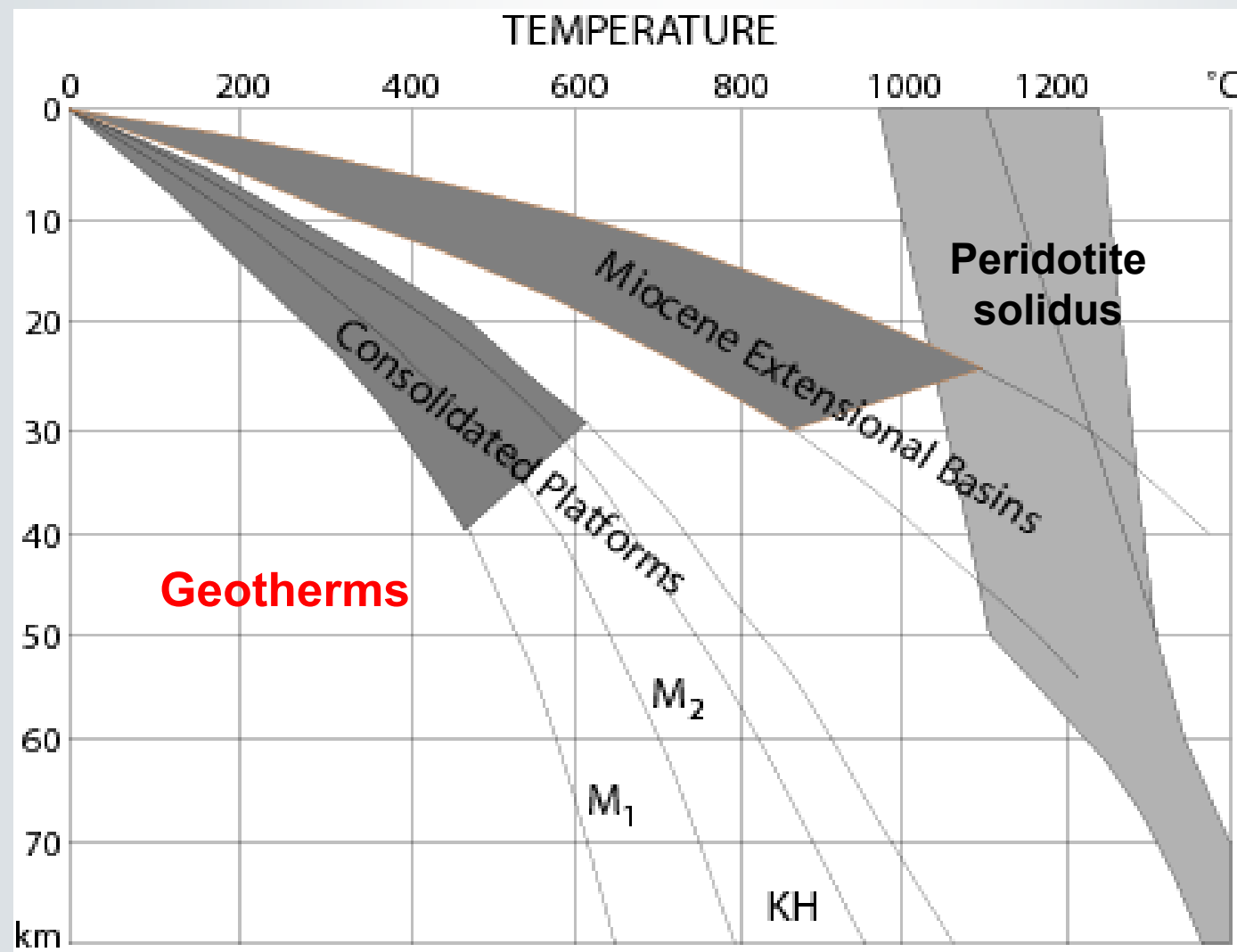


**Origin of the Hot Spots**

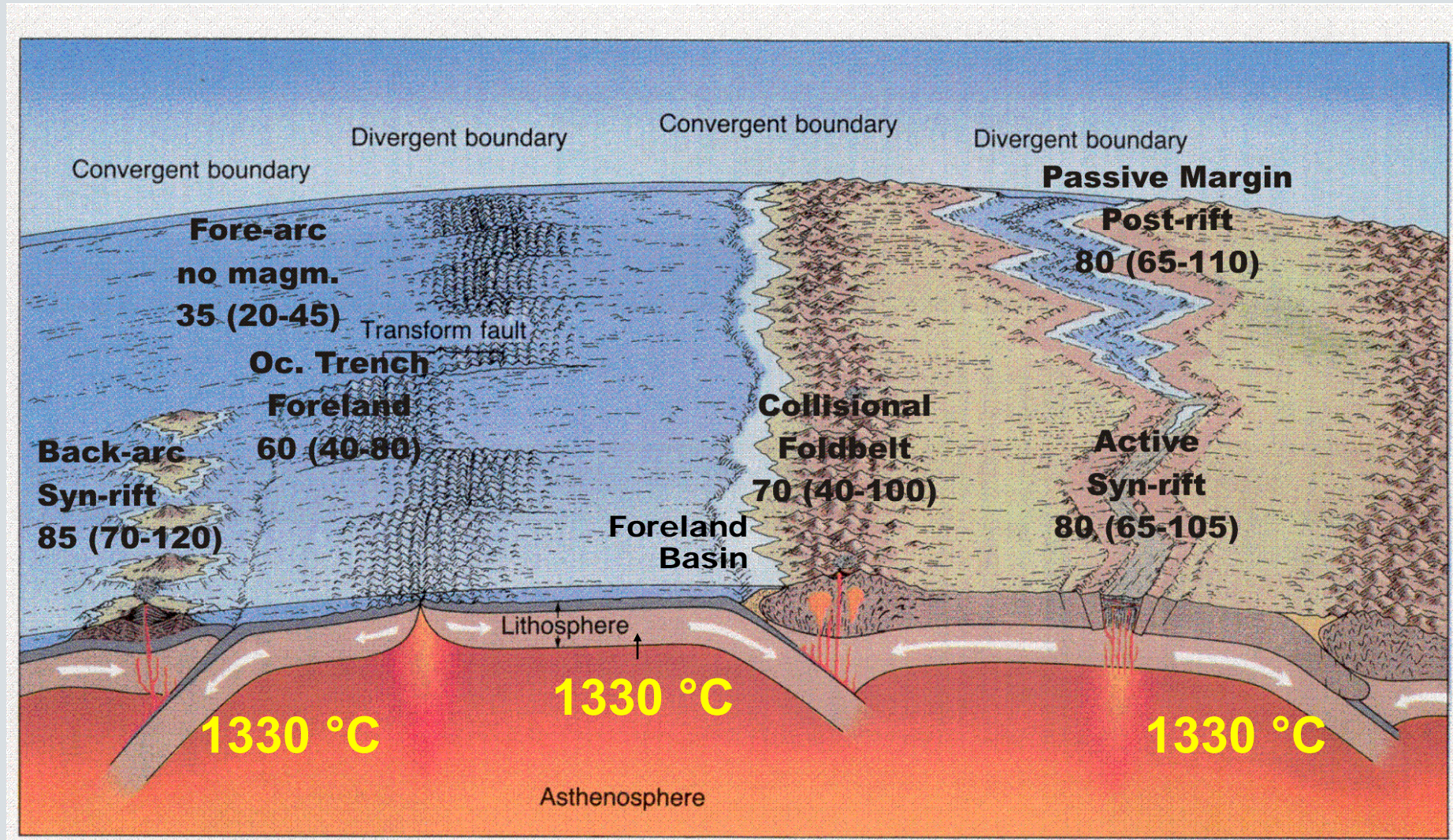
# Teplota na bázi litosféry



# Geotermický gradient = $dT/ dZ$ (mK/ m)

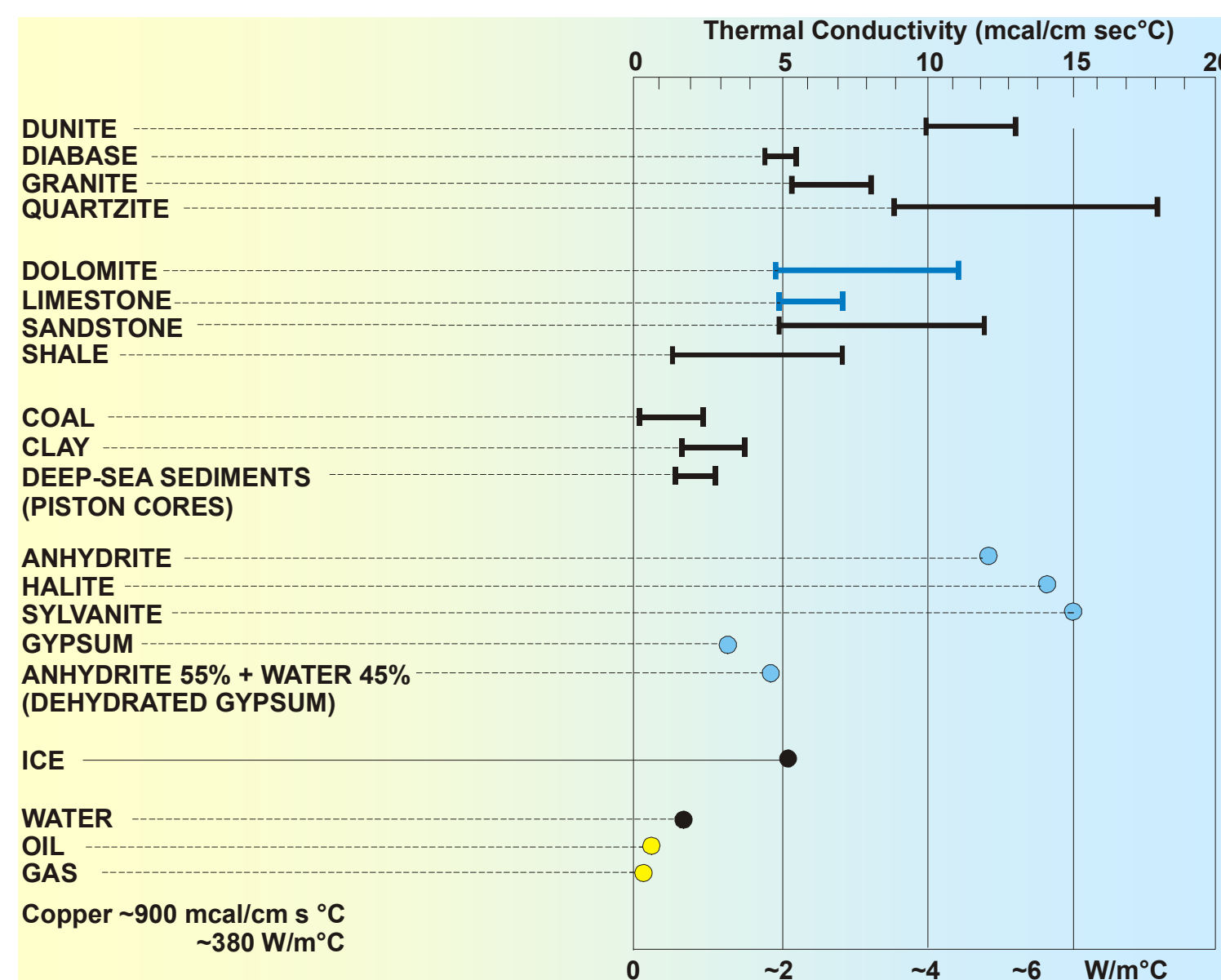


# Tepelný tok ( $\text{mW.m}^{-2}$ )

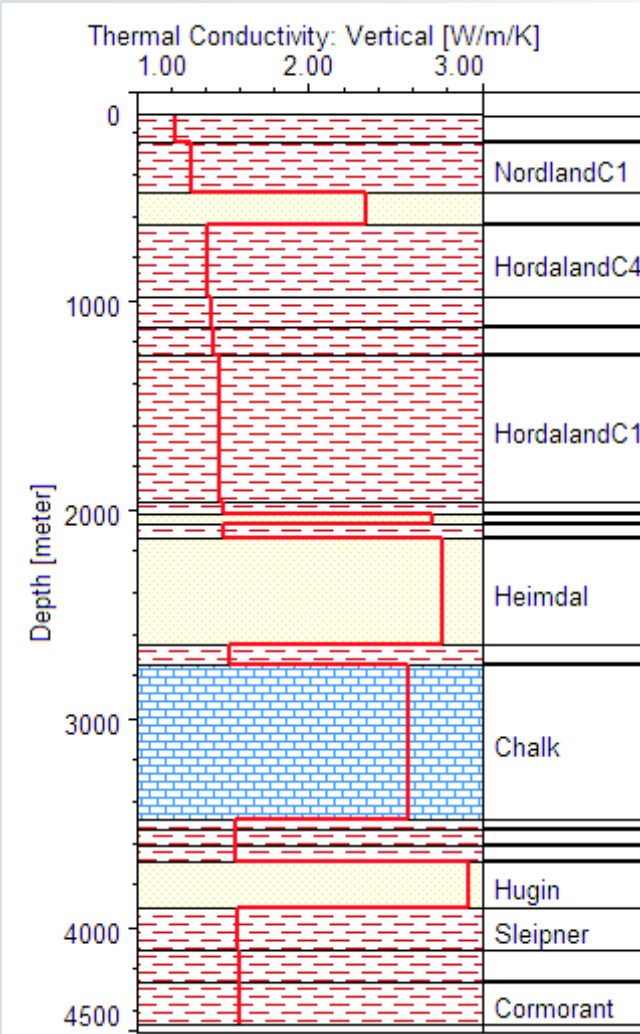


*Data from Allen & Allen (1990)*

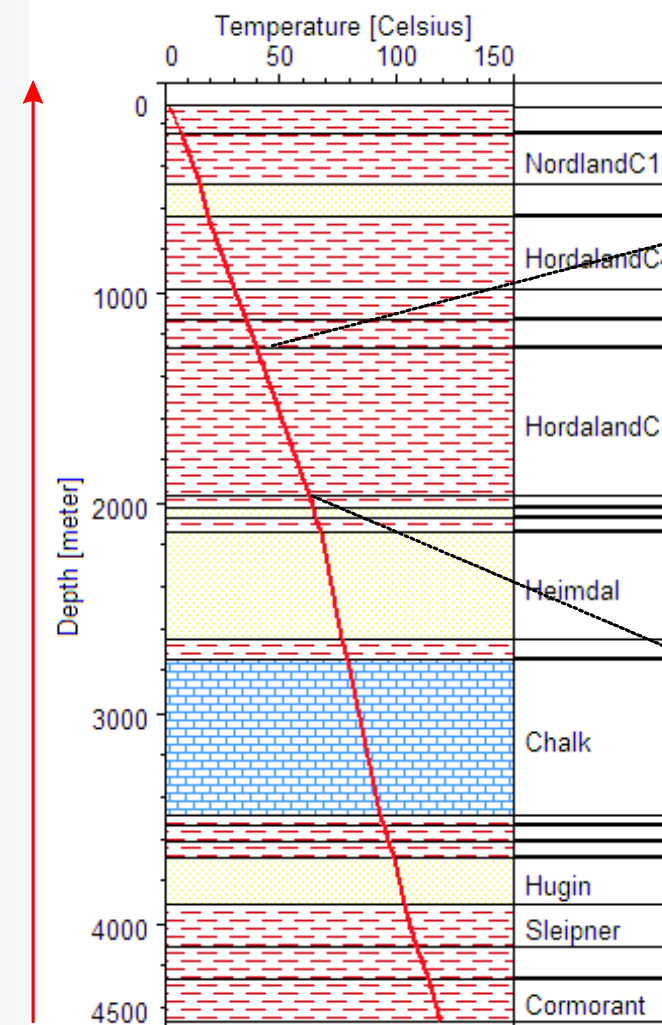
# Tepelná vodivost



# 1D tepelná vodivost a teplota



heat flow  $q = 48 \text{ mW/m}^2$



$$\Delta T = 22.7 \text{ K}$$

$$39.8^\circ\text{C} \quad 62.5^\circ\text{C}$$

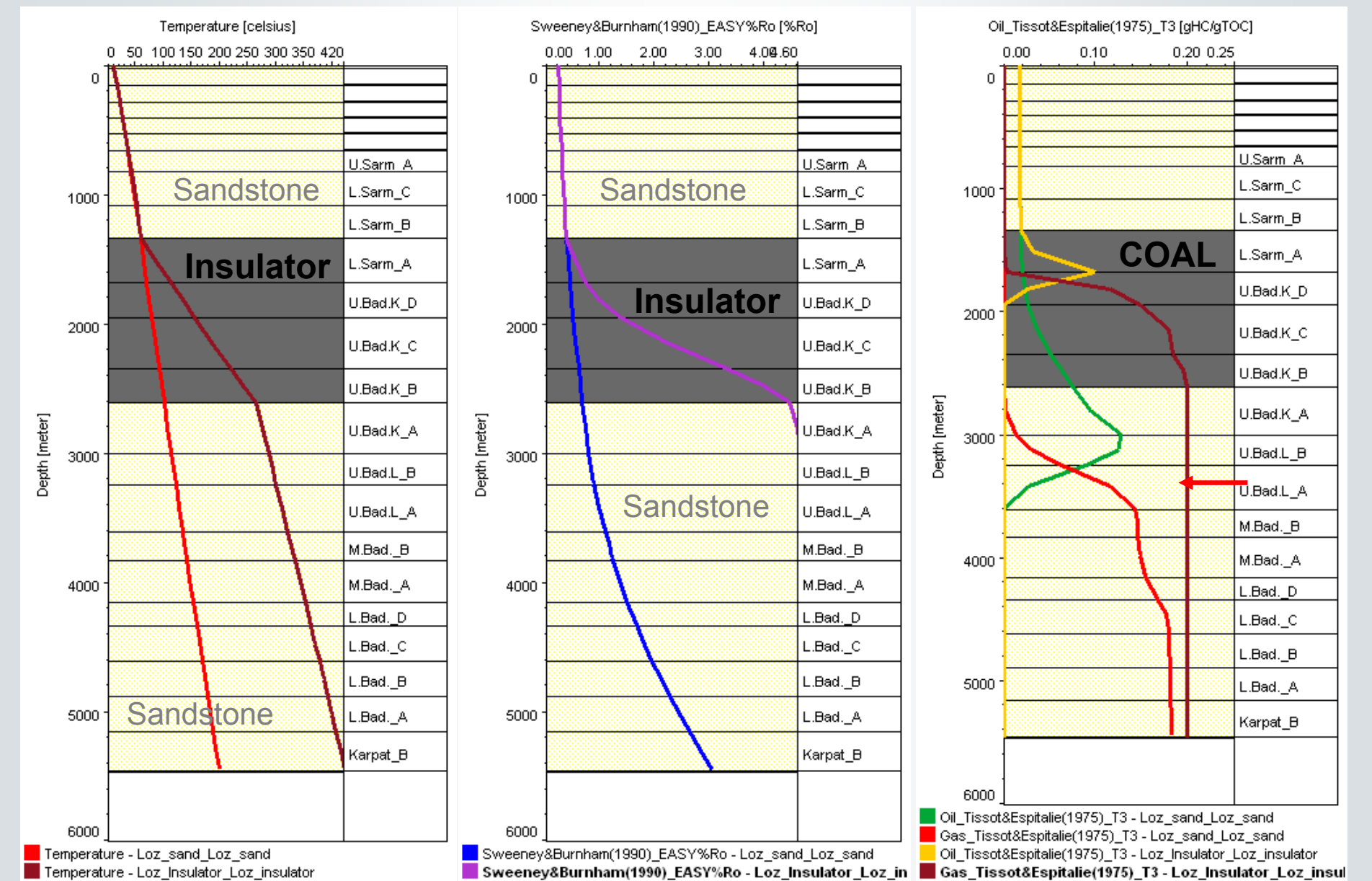
$\Delta z = 700 \text{ m}$

$$q = \lambda \frac{\Delta T}{\Delta z}$$

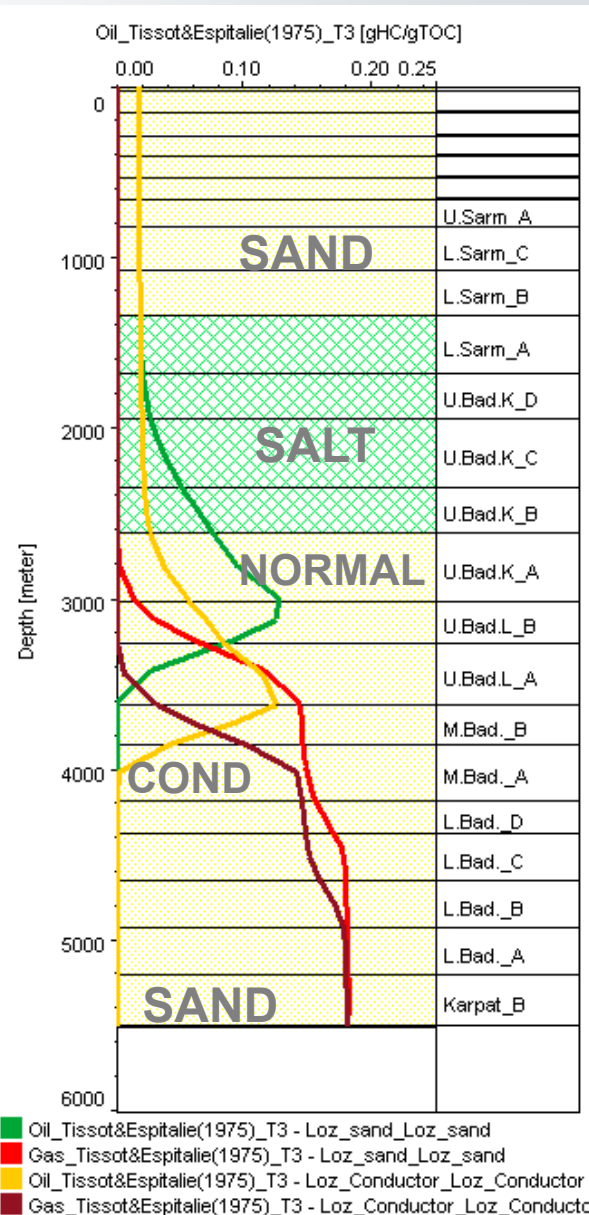
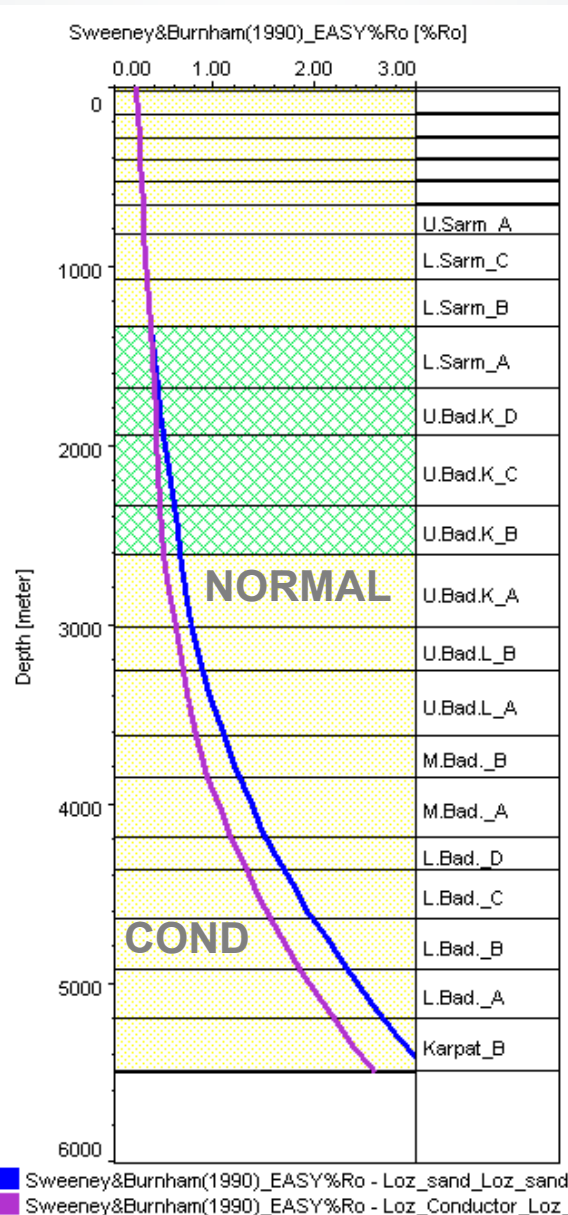
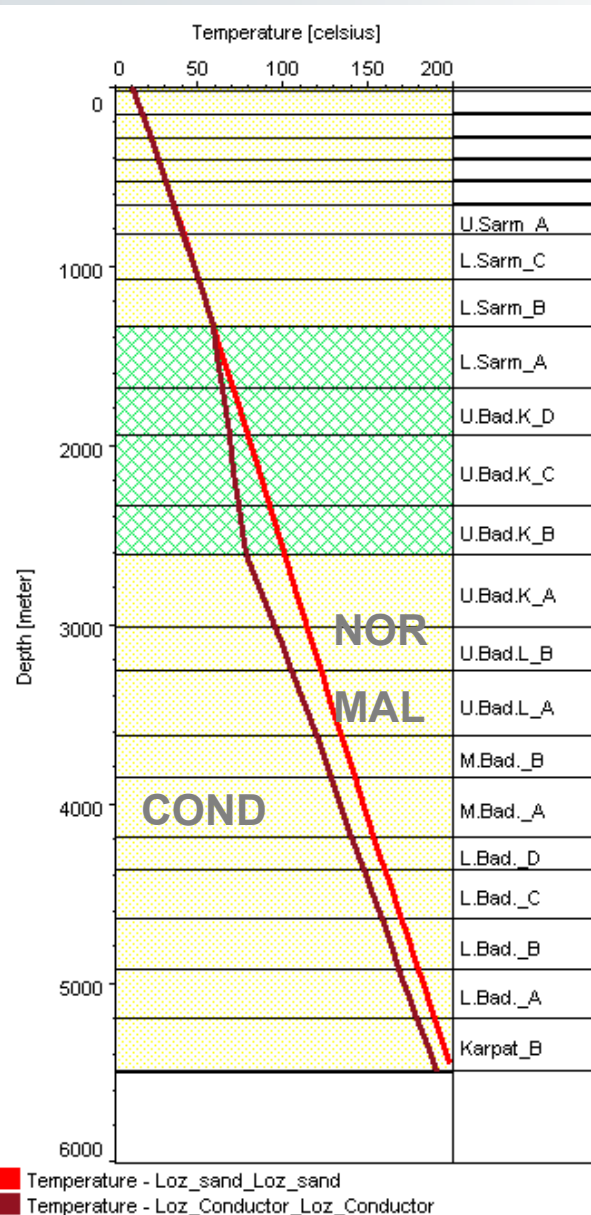
$$48 \frac{\text{mW}}{\text{m}^2} = 1.48 \frac{\text{W}}{\text{m} \cdot \text{K}} \cdot \frac{22.7 \text{ K}}{700 \text{ m}}$$

HF      Therm. Cond.      Grad T

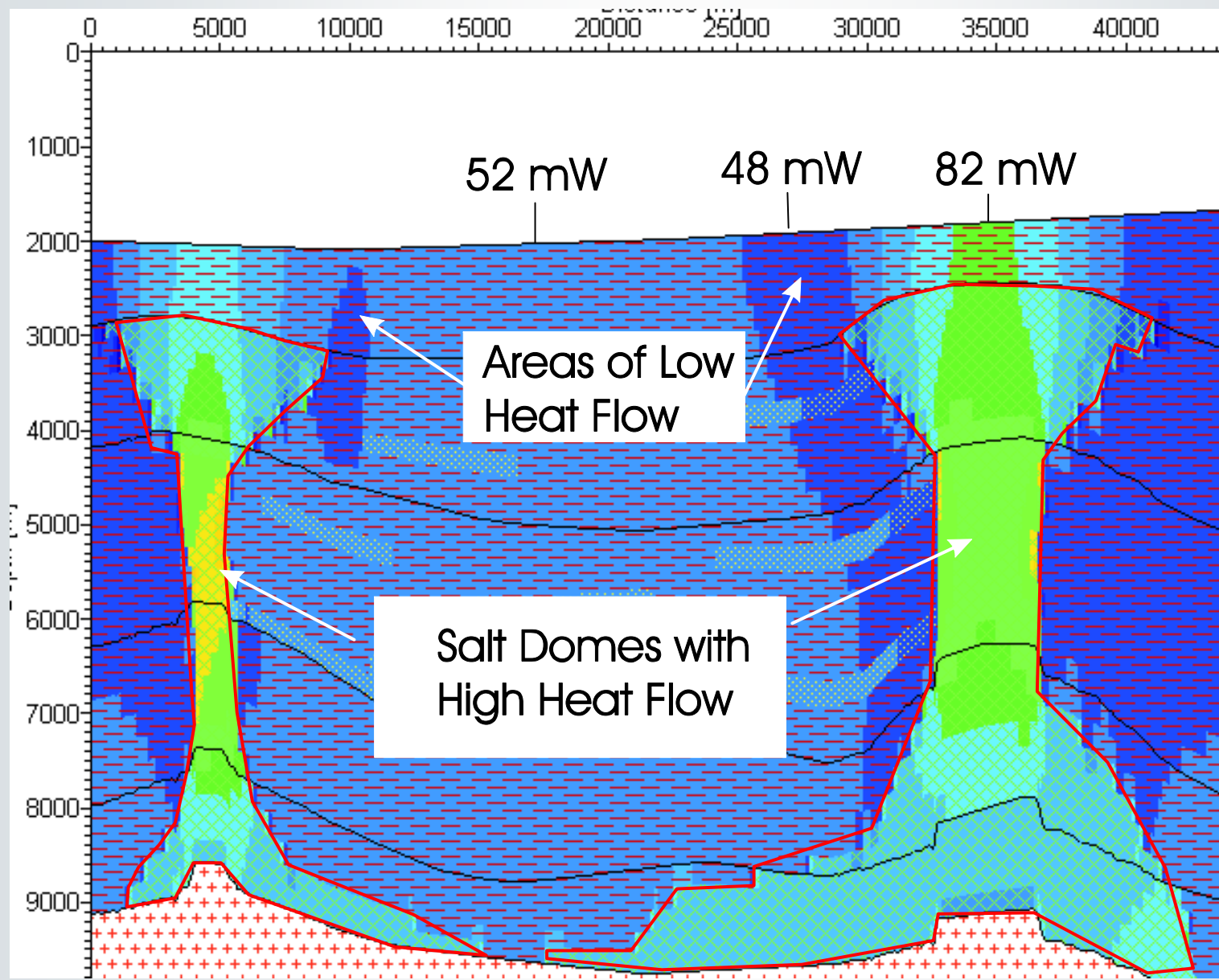
# Vliv tepelného izolantu (např uhlí)



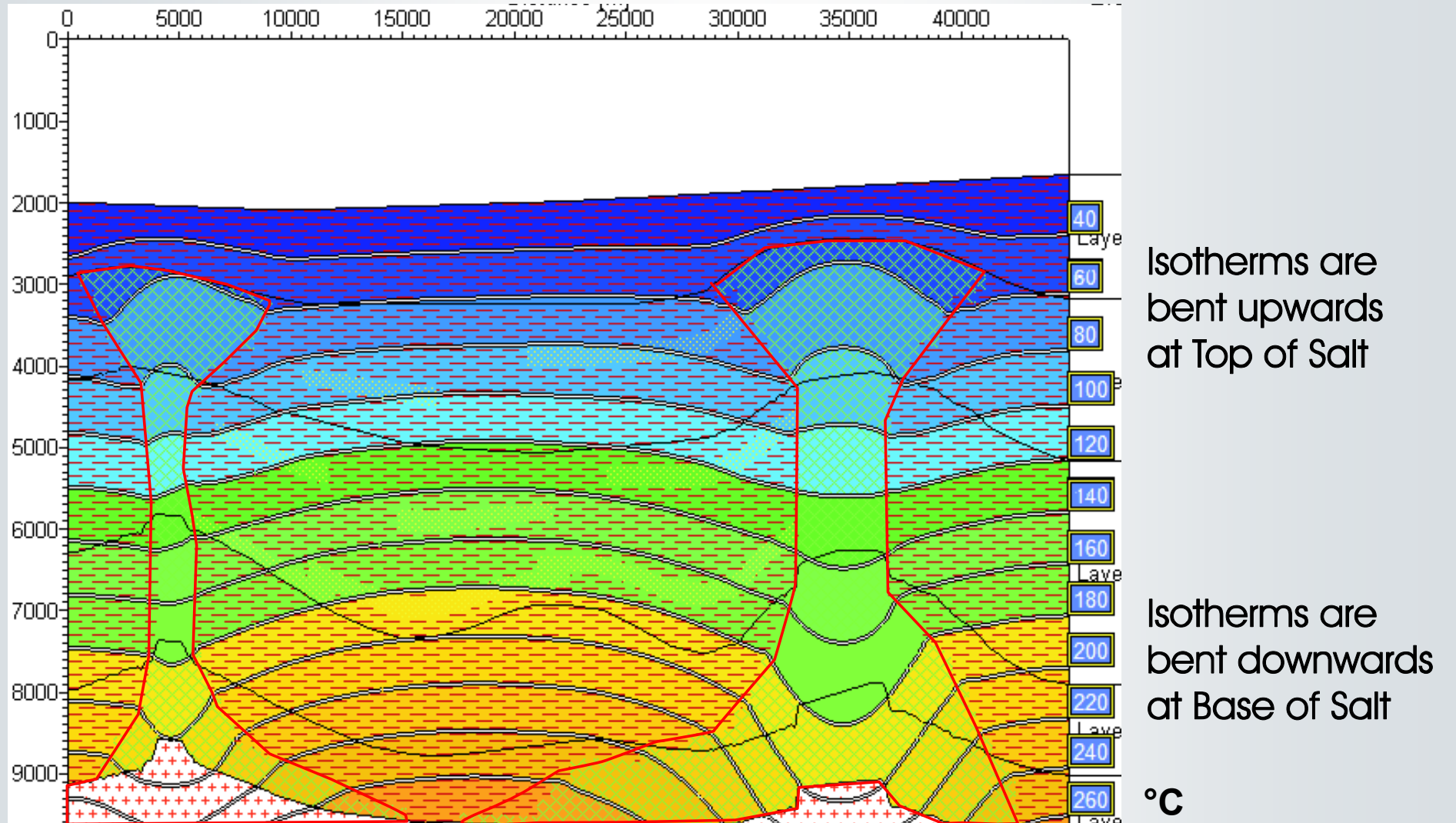
# Účinek tepelného vodiče



# Tepelný tok v solných diapírech

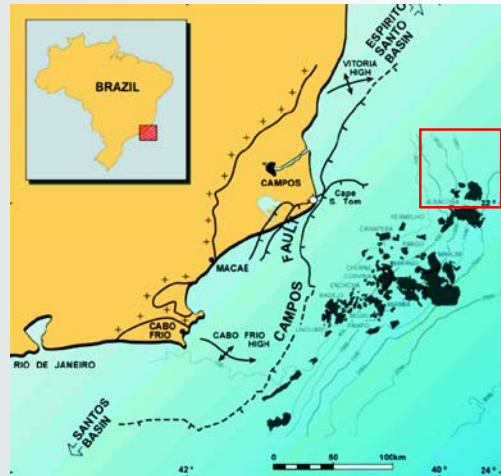


# Izotermy v solných diapírech

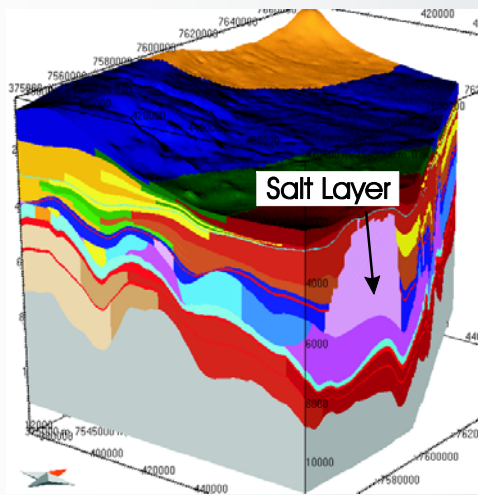


# příklady – Campos Basin

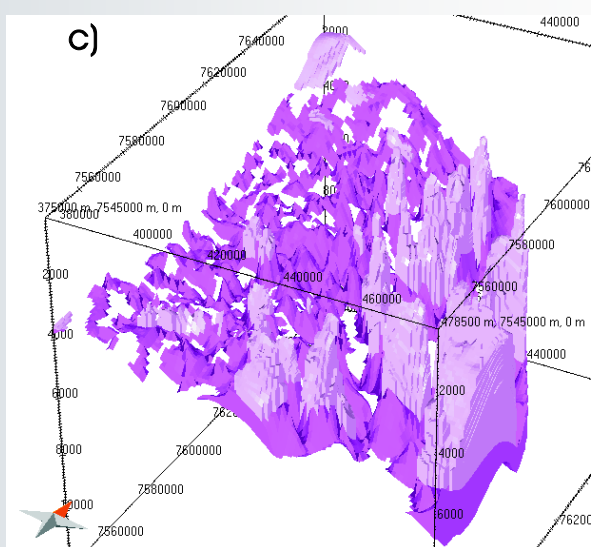
a)



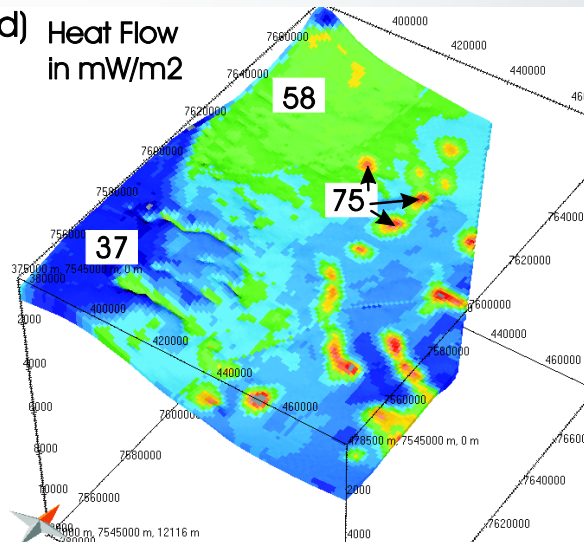
b)



c)

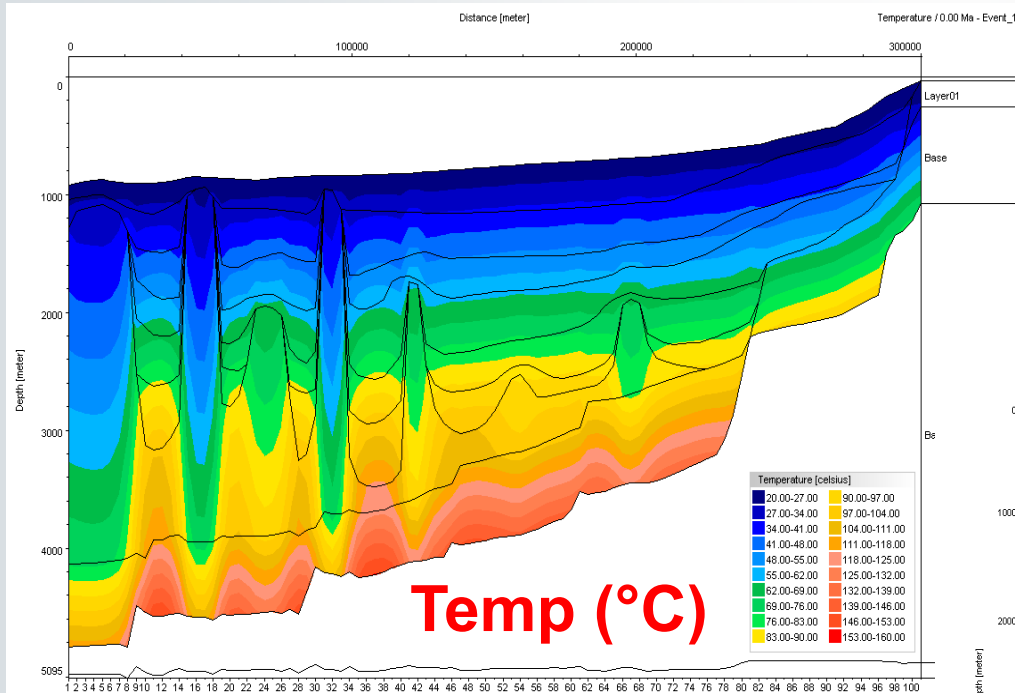


d) Heat Flow  
in mW/m<sup>2</sup>



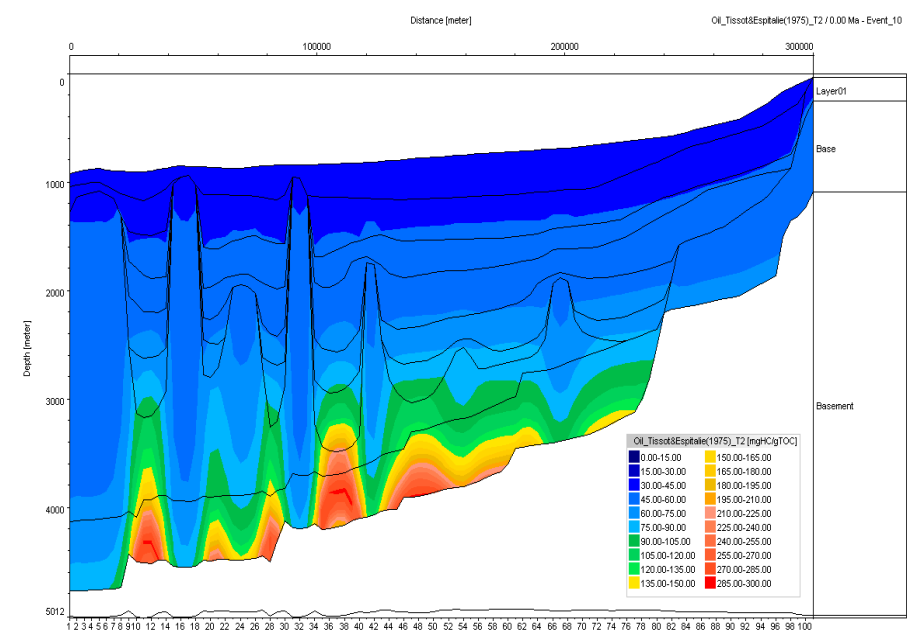
# Geothermics in Subsalt Basins (GOM)

## Heat Transfer



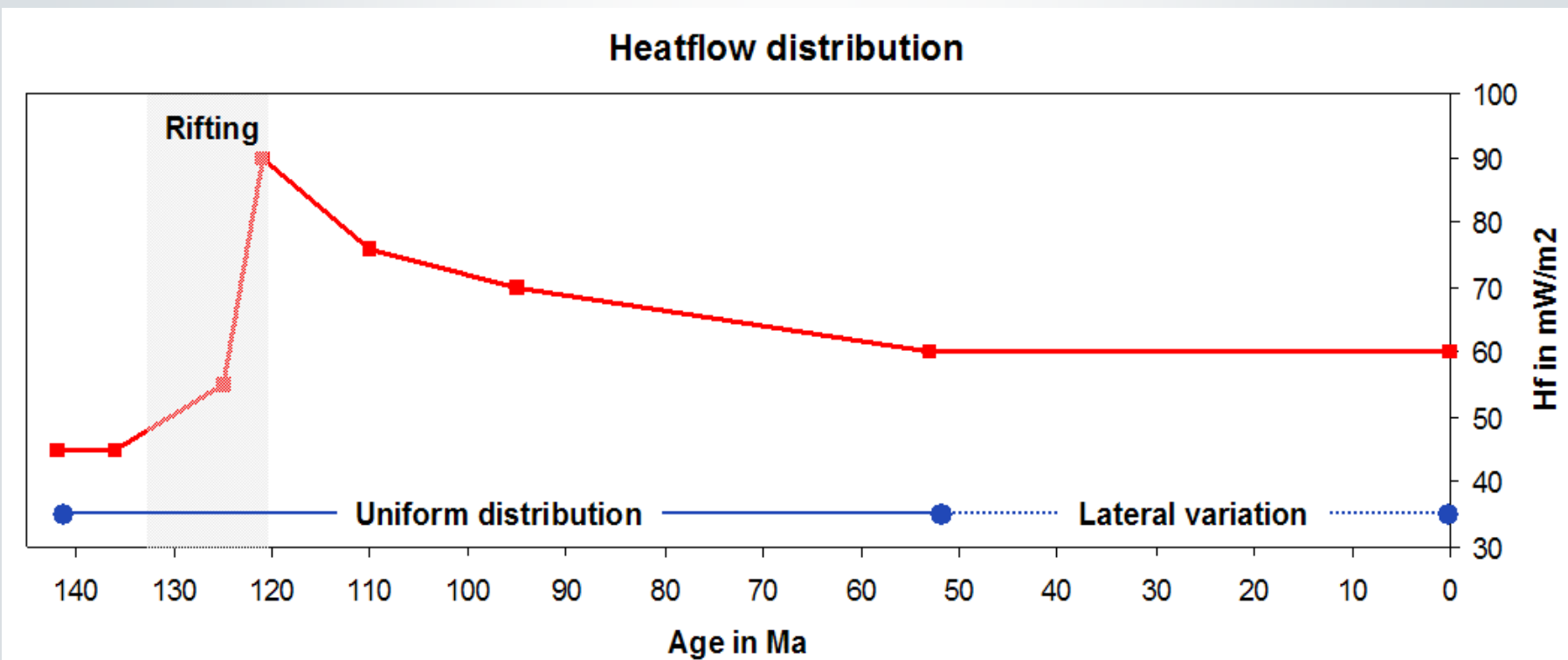
This example shows the strong effect of salt diapirs on temperature and maturity pattern in the subsalt system

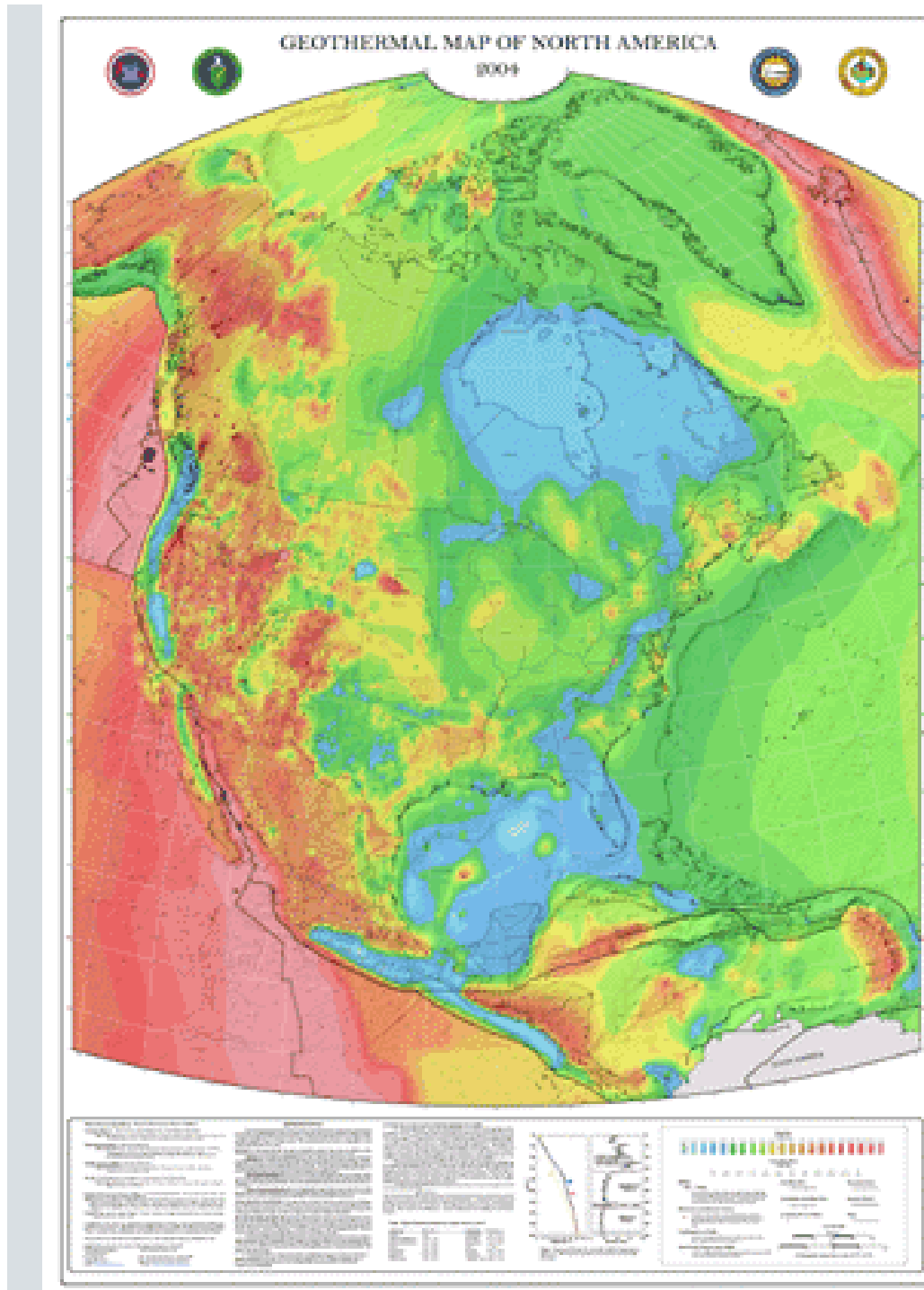
## Maturation Oil Generation



# Heat Flow History - Basin Dynamics

Synrift   Postrift (cooling)      Mature Passive Margin



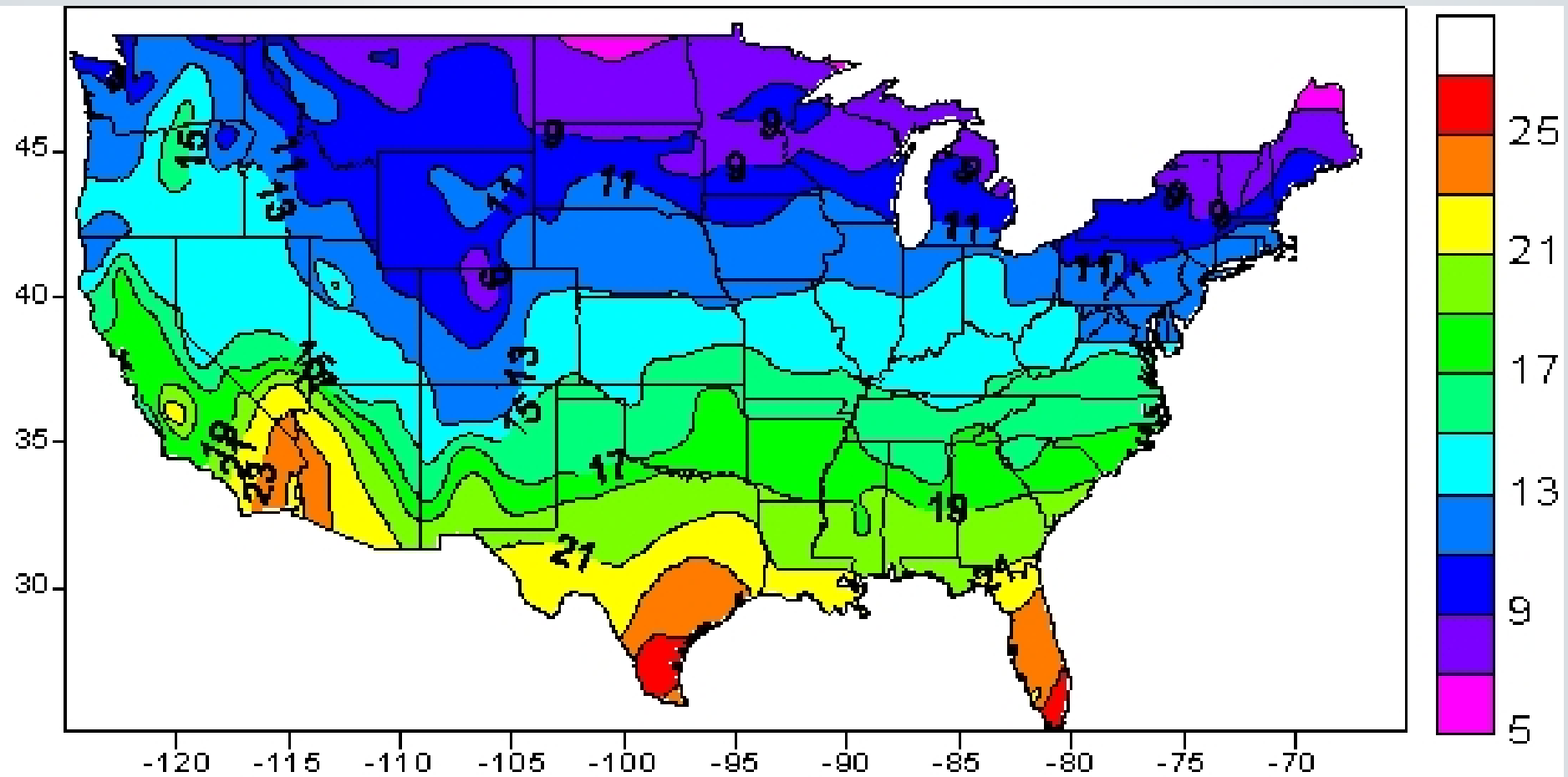


# Heat Flow Map of North America

Blackwell, D. D., and Richards, M.  
2004. Geothermal Map of North  
America. American Assoc.  
Petroleum Geologist (AAPG), 1  
sheet, scale 1:6,500,000.

Present heat flow  
pattern in respect to  
major tectonic  
features

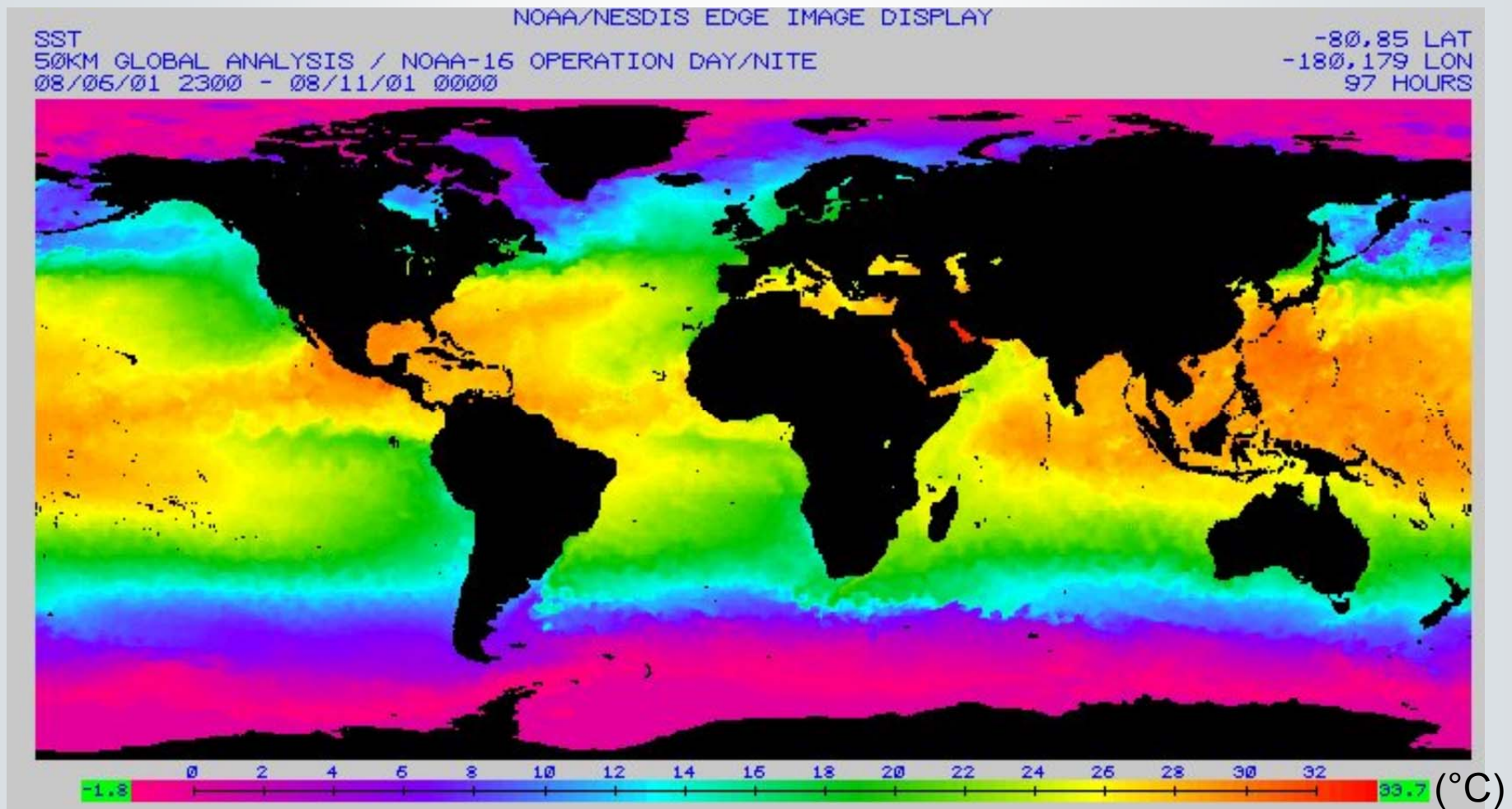
# Průměrná povrchová teplota



Average surface temperature ( $^{\circ}\text{C}$ ) of the United States from groundwater measurements.

This is a reproduction of the Map by T.E. Gass (1982) Geothermal Heat Pumps Geothermal Resources Council Bulletin 11(11), 3-8.

# Teplota hladiny oceánů



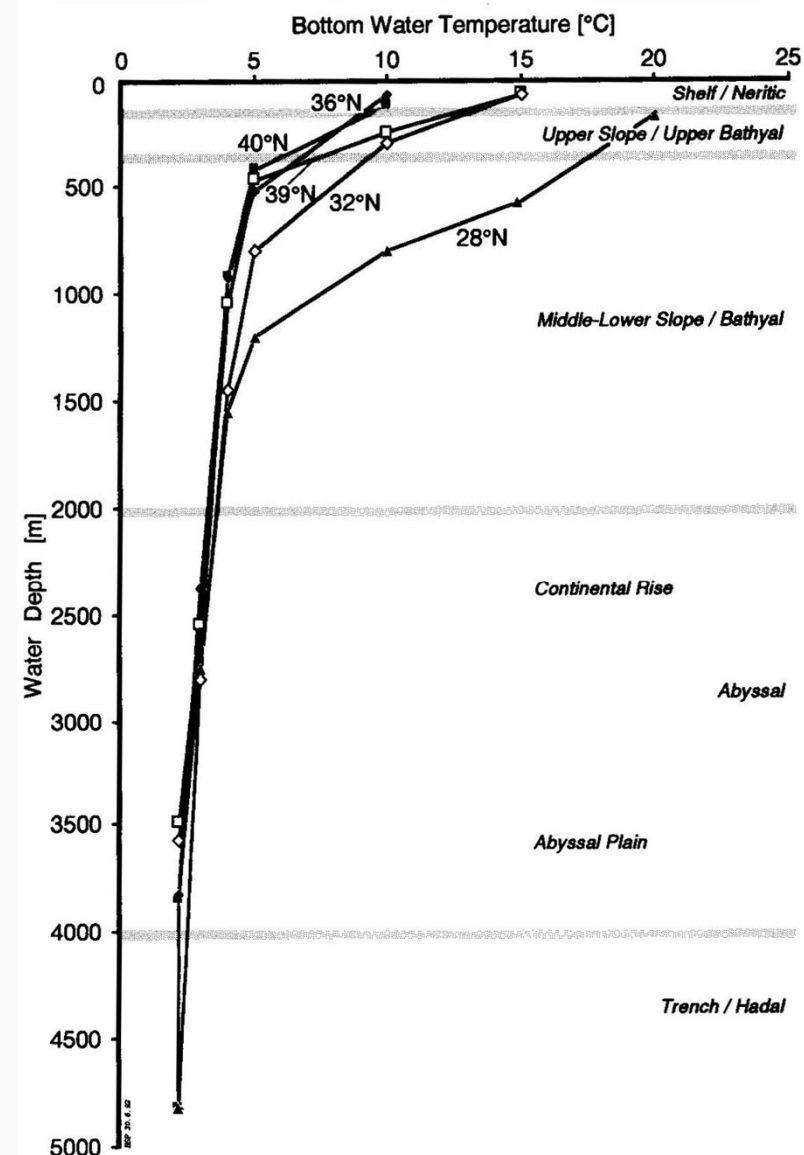
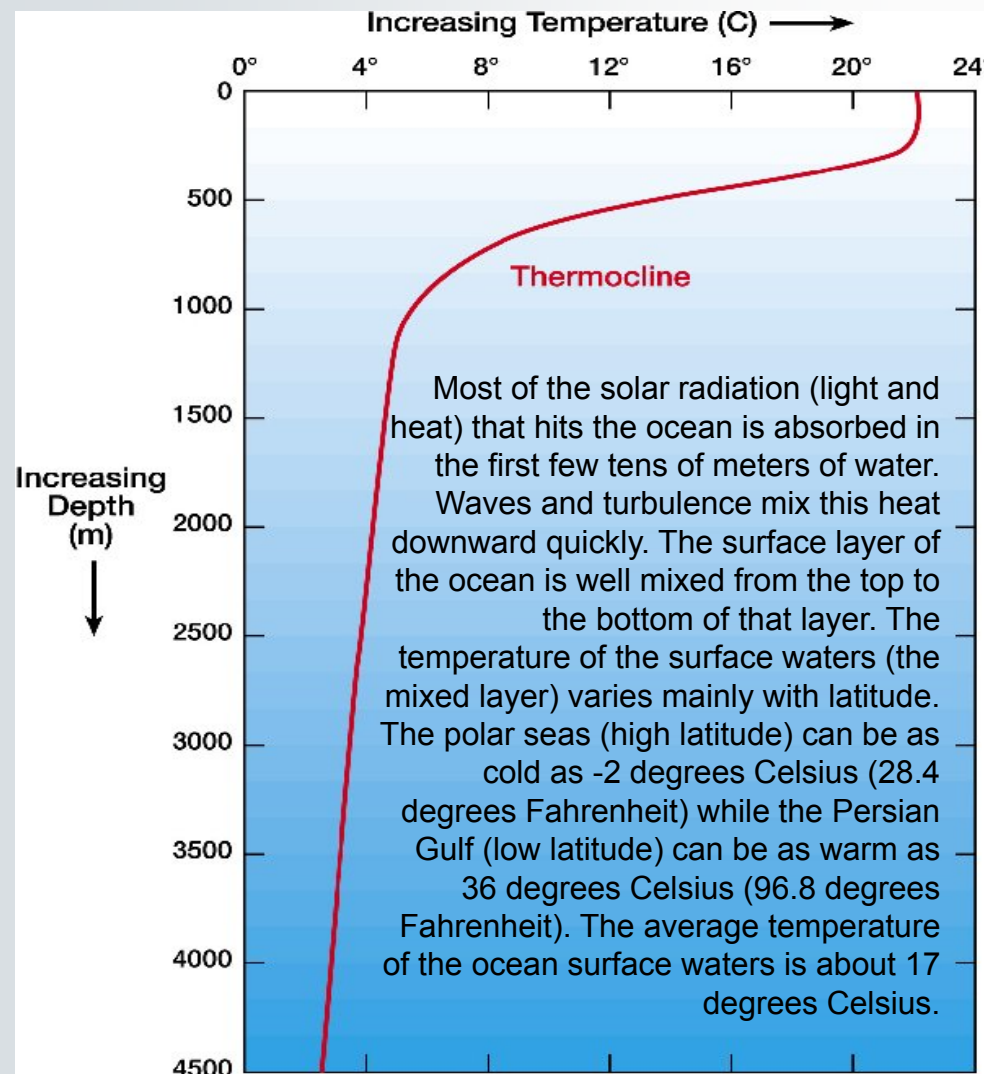
This image shows the temperature ( $^{\circ}\text{C}$ ) of the ocean water at the surface (August 6-11, 2001).

This particular data set was taken by the NOAA-16 satellite. NOAA-16 is part of the TIROS series of polar-orbiting, environmental satellites.

Image courtesy of The National Oceanic and Atmospheric Administration (NOAA)

<http://www.windows.ucar.edu/>

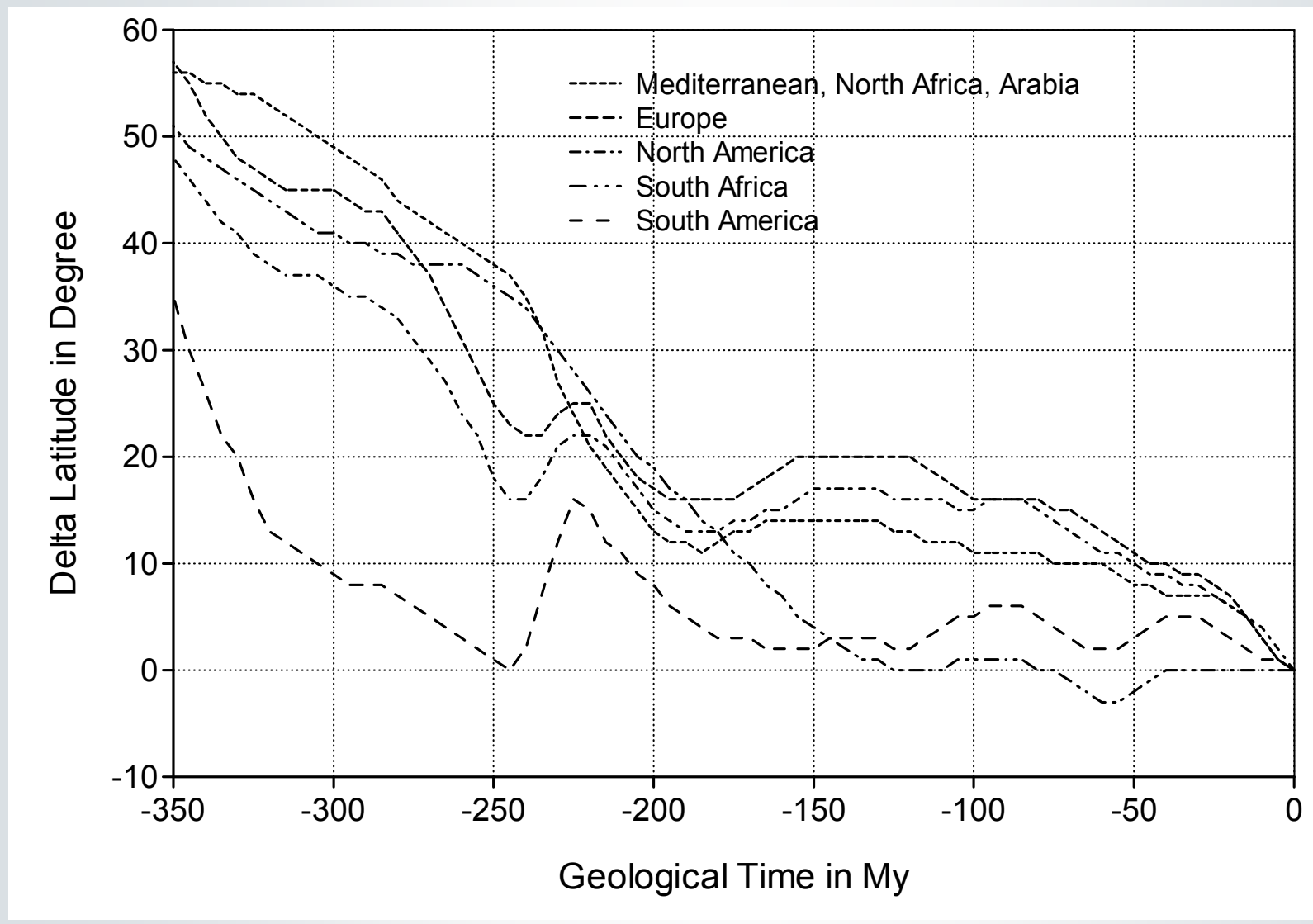
# Teplota v oceánech - hloubkový profil vodním sloupcem



Depth profiles of bottom water temperatures for several transects in the Northwest Atlantic Ocean margin.

From: POELCHAU et al. 1997

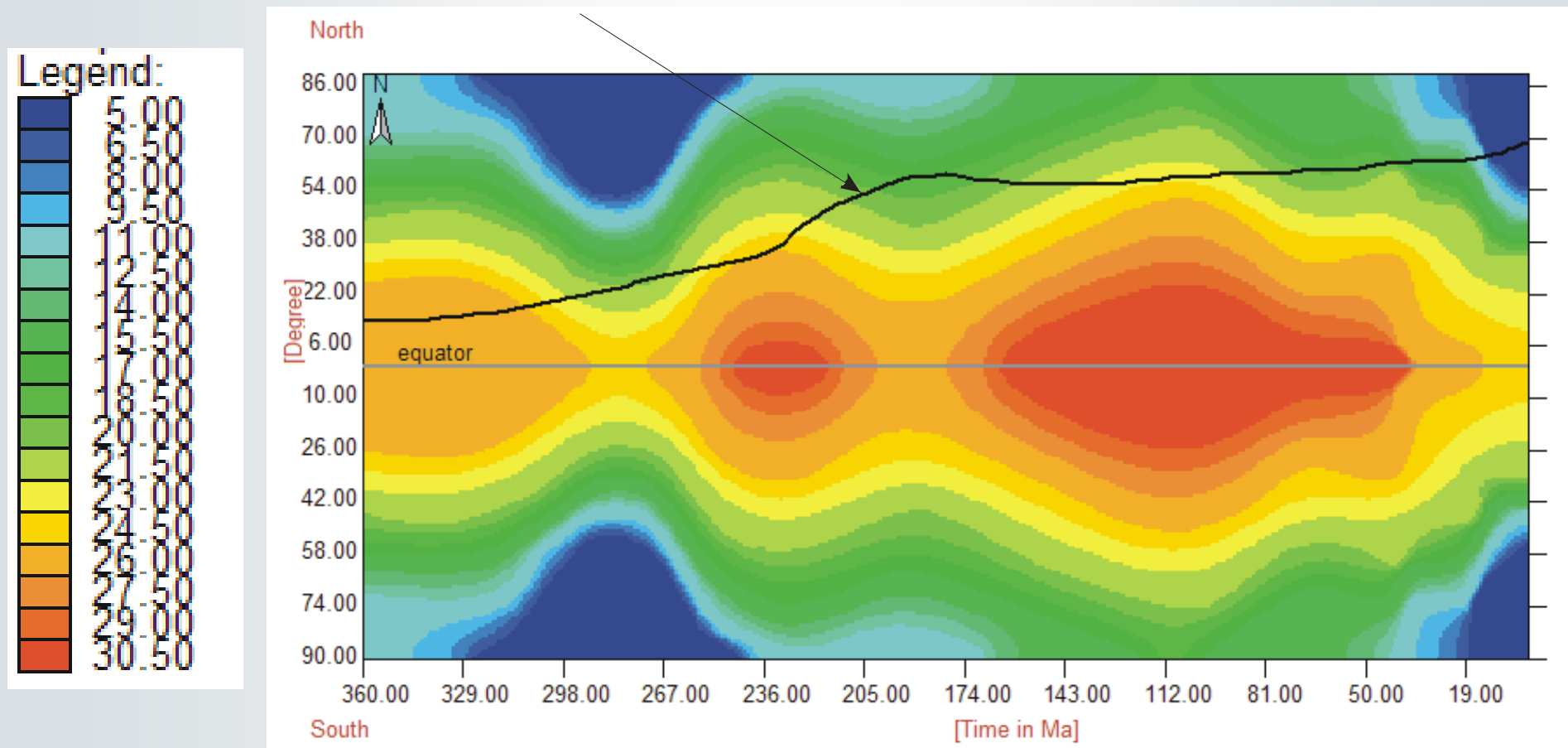
# Correction of the Upper Boundary Conditions (Climatic Temperature) based on Paleo-Climate Evolution and Lithospheric Plate Drifting



# Geologická historie povrchových teplot Země

Rekonstrukce paleo-šířky a změny klimatu v čase

Surface temperature for Northern Europe at 70 degrees latitude



Devon

Geologický čas (Mil let před současností)

Dnes

# Geotermie - Shrnutí

- Přínos tepelné energie ze zem. hlubin je dán tepelným tokem a tepelným efektem rozpadu radioaktivních materiálů
- Teplotní profil s hloubkou  $\leq$  tepelný tok a **teplné vodivosti**
- Všechno se mění - klima, dynamika Země